

## بررسی عملکرد طول تیر پیوند تحت تحلیل دینامیکی غیرخطی در سیستم دیوار برشی فولادی کوپله با اتصال صلب\*

مجید قلهکی<sup>(۱)</sup>محمدباقر قدکساز<sup>(۲)</sup>

**چکیده** در سال‌های اخیر از سیستم دیوار برشی فولادی به دلیل مزایای رفتاری مناسب همچون سختی و مقاومت بالا، اقتصادی بودن و قابلیت جذب انرژی زیاد در سازه‌های بلند استفاده شده است. به دلایل معماری استفاده از دهانه‌های بزرگ معمول می‌باشد و لذا چنانچه در این دهانه‌ها نیاز به استفاده از دیوار برشی فولادی باشد، معمولاً از نوع کوپله (مزدوج) آن استفاده می‌شود. دیوار برشی فولادی کوپله از دو دیوار برشی فولادی تشکیل شده است که توسط تیر پیوند فولادی در تراز هر طبقه به یکدیگر متصل شده‌اند. در این مقاله قاب‌های ۳، ۱۰ و ۱۵ طبقه دیوار برشی فولادی کوپله دارای اتصال صلب با سه طول مختلف تیر پیوند ۱/۲۵، ۲/۵ و ۳/۷۵ متر و تیرهای پیوند دارای مدول مقطع پلاستیک ۱۰۰ درصد نسبت به تیر پانل با استفاده از سه زوج شتاب‌نگاشت تحت تحلیل دینامیکی غیرخطی با استفاده از نرم‌افزار ABAQUS قرار گرفته و عملکرد دیوارها و تیر پیوند در برش پایه، دررفت، پرید سازه و درجه کوپلگی (DC) مورد ارزیابی واقع شده است. نتایج نشان می‌دهد که در سیستم دیوار برشی فولادی کوپله با کاهش طول تیر پیوند، برش پایه افزایش و دررفت و پرید اصلی سازه کاهش می‌یابد. همچنین تغییرات طول تیر پیوند اثرات متفاوتی در پارامتر درجه کوپلگی دارد.

**واژه‌های کلیدی** دیوار برشی فولادی کوپله، تیر پیوند، تحلیل دینامیکی غیرخطی، مدول مقطع پلاستیک.

## Investigation of Operation of Link Beam Length in Nonlinear Dynamic Analysis of Steel Plate Shear Walls with Coupling with Rigid Joint

M. Gholhaki

M. B. Ghadaksaz

**Abstract** In recent years, Steel Plate Shear Wall system is used in tall buildings because of its advantages such as high initial stiffness and resistance, energy-dissipation capability and economic feasibility. Due to architectural requirements, using of big bays is usual and so if the usage of steel plate shear wall is needs in these bays; its couple type is used. The Steel Plate Shear Wall with Coupling (SPSW-WC) consist of a pair of planar spsws linked together with coupling beams at the floor levels. In this research, various frames (SPSW-WC) in 3, 10, 15 stories with rigid joint with three different length link beam 1.25, 2.5 and 3.75 meter which were proportioned to have a plastic section modulus 100% of the HBE (CB/HBE ratio) at each floor level and were put by using three acceleration mapping with nonlinear dynamic analysis and ABAQUS software and the performance of the walls and link beam in base shear, drift and DC (degree of coupling) were investigated. The results show that with reduction of link beam length in Steel Plate Shear Walls with Coupling system, base shear increase and drift and period of structure decrease, also the link beam length changing has different effects on coupling degree.

**Key Words** Steel Plate Shear Walls with Coupling, Link Beam, Plastic Section Modulus, Nonlinear Dynamic Analysis.

\* تاریخ دریافت مقاله ۹۳/۱۰/۸ تاریخ پذیرش آن ۹۶/۷/۲۹ می‌باشد.

Email: mgholhaki@semnan.ac.ir

(۱) نویسنده مسئول: دانشیار دانشکده مهندسی عمران، دانشگاه سمنان.

(۲) دانش آموخته کارشناس ارشد، دانشکده مهندسی عمران، دانشگاه سمنان.

## مقدمه

دیوار برشی فولادی در چهار دهه اخیر در آمریکای شمالی، کانادا و ژاپن به عنوان یک سیستم مقاوم در برابر بارهای جانبی در ساخت ساختمان‌های جدید و تقویت ساختمان‌های موجود (به خصوص در ساختمان‌های بلندمرتبه) مورد استفاده قرار گرفته است. این سیستم دارای سختی مناسب برای کنترل تغییر شکل سازه است و در آن به دلیل وجود مکانیزم شکست شکل پذیر، اتلاف انرژی بالاست. به دلیل ملاحظات معماری، سیستم دیوار برشی فولادی به طور معمول در اطراف هسته قرار می گیرد و بعضاً به دلیل وجود بازشو در هسته، دو سیستم دیوار برشی فولادی در کنار یکدیگر قرار می گیرند. از طرف دیگر باتوجه به این که آیین نامه آمریکا نسبت طول به ارتفاع دیوار برشی فولادی را به عدد ۲/۵ محدود کرده است، طراحان آمریکایی به استفاده از یک دهانه ساده در کنار دو دیوار برشی فولادی سوق یافته اند، به همین ترتیب این دو دیوار توسط یک تیر پیوند در تراز هر طبقه به یکدیگر متصل می شوند.

در سال‌های اخیر محققان مطالعاتی در ارتباط با دیوار برشی فولادی کوپله انجام داده اند که می توان به پژوهش آستانه اصل و همکاران [1] در دانشگاه برکلی اشاره نمود. در این پژوهش نمونه های ۲ و ۳ طبقه با مقیاس یک دوم ساخته شد و ستون های کناری اطراف دیوار از تیوب های استوانه ای فولادی پر شده با بتن، ساخته شدند. مقطع تیر پیوند استفاده شده با مقطع تیرهای طبقات یکسان در نظر گرفته شد و بارگذاری از نوع چرخه ای بود. هر دو نمونه رفتار شکل پذیر از خود نشان دادند و در هر دوی آنها، شکست سیستم در قسمت تیر کوپله فوقانی رخ داد.

در سال ۲۰۱۱، لی و همکارانش [2] آزمایشی تحت بار چرخه ای با مقیاس نمونه ۴۰٪ (۲/۵ طبقه) براساس الگوی اصلی یک ساختمان ۶ طبقه انجام دادند و نتایج آن با تحلیل های عددی با استفاده از نرم افزار آباکوس مقایسه گردید که حاکی از تطبیق مناسب پاسخ ها با نمونه

## آزمایشگاهی بود.

در سال ۲۰۱۱، فاهنستوک و بورلو [3] چند قاب دیوار برشی فولادی کوپله ۶ طبقه، طراحی کردند و در نرم افزار انسیس تحت تحلیل بارافزون قرار دادند. همچنین نمونه های آزمایشگاهی ۳ طبقه از مدل های بررسی شده ۶ طبقه ساخته شد. در این تحقیق مقاطع تیر-های پیوند نمونه ها ۱۰۰٪، ۲۰۰٪ و ۴۰۰٪ ظرفیت پلاستیک تیرهای طبقات را داشتند و نتایج نشان داد که با افزایش مدول مقطع پلاستیک تیر پیوند نسبت به تیر طبقات، برش پایه افزایش می یابد و همچنین دررفت در طبقات پایین تر بیشتر می شود.

در سال ۲۰۱۲، فاهنستوک و بورلو [4] مطالعه دیگری انجام دادند و به بررسی رفتار و مکانیسم دیوار برشی کوپله فولادی پرداختند. در این پژوهش به ارائه روابطی برای درجه کوپلینگ (DC) اشاره شد. در این پژوهش ۳۲ ساختمان ۶ و ۱۲ طبقه با پلانی براساس الگوی ساختمانی ۹ طبقه و دو نوع طول تیر پیوند ۱/۸ و ۲/۸ متر با نسبت ۲۵٪ تا ۶۰٪ مقطع پلاستیک طبقات مدل سازی شد. نتایج نشان داد که با افزایش طول تیر پیوند، همیشه درجه کوپلینگ افزایش نمی یابد.

باتوجه به بررسی مطالعات انجام شده قبلی، نیاز به تحلیل های دینامیکی غیرخطی تحت شتاب نگاشت های مختلف و با طول تیرهای پیوند متنوع برای محدوده های ارتفاعی مختلف از ساختمان ها و ارتباط بین درجه کوپلینگ و برش پایه و همچنین دررفت طبقات حس می گردد. لذا در این مقاله، نمونه هایی از دیوارهای برشی فولادی کوپله ۳، ۱۰ و ۱۵ طبقه که نماد ساختمان های کوتاه، میان و بلندمرتبه در ایران می باشد، در نرم افزار ABAQUS مدل شدند و در نمونه های مورد بررسی از سه طول تیر پیوند مختلف ۱/۲۵، ۲/۵ و ۳/۷۵ متر با ظرفیت پلاستیک ۱۰۰ درصد نسبت به تیر طبقات استفاده شد و نمونه ها تحت سه شتاب نگاشت مختلف مورد تحلیل دینامیکی غیرخطی قرار گرفتند. هدف از انتخاب سه محدوده ارتفاعی از ساختمان ها، بررسی تغییرات

درجه کویلینگ با ارتفاع ساختمان و دررفت و برش پایه می باشد.

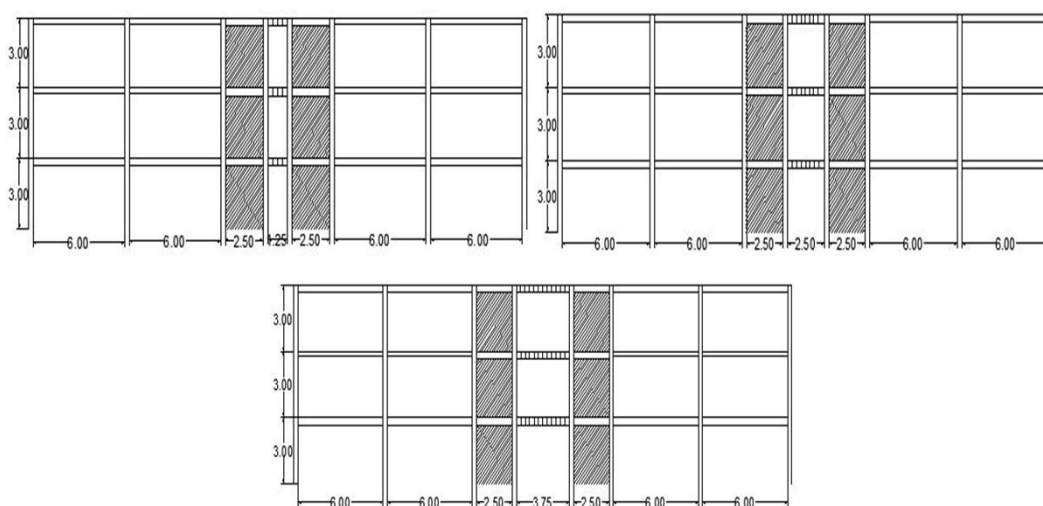
از فولاد ST37 با نسبت پواسون  $0.3$  و مدول الاستیسیته  $210$  گیگا پاسکال استفاده شده است.

### فرضیات تحلیل و مدل های سازه ای

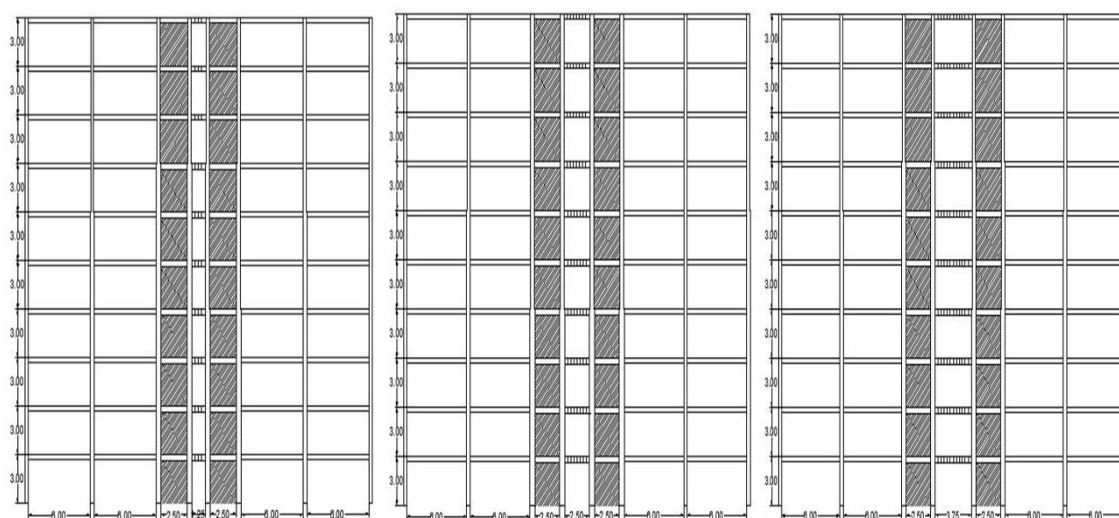
نه قاب دیوار برشی فولادی کوپله با اتصال صلب دارای ورق نازک که هر کدام دارای هفت دهانه هستند و طول تیر پیوند در آنها متفاوت است، با استفاده از روش نواری مدل سازی شدند. در این نمونه ها عرض پانل های برشی برابر  $2/5$  متر و طول تیر پیوند برابر  $1/25$ ،  $2/5$  و  $3/75$  متر متغیر است و عرض دهانه های کناری هر یک  $6$  متر می باشد. قاب ها در سه ساختمان  $3$ ،  $10$  و  $15$  طبقه فرض شده اند که در تمامی آنها ارتفاع طبقات برابر  $3$  متر است (شکل های ۱ تا ۳).

بارگذاری نمونه ها مطابق با مبحث ششم مقررات ملی ساختمان [۵] صورت پذیرفته و کاربری ساختمان ها مسکونی فرض شده است. شدت بار مرده طبقات و بام، بار زنده طبقات و بام به ترتیب  $600$ ،  $500$ ،  $200$  و  $150$  کیلوگرم بر متر مربع در نظر گرفته شده و توزیع نیروی جانبی ساختمان براساس استاندارد  $2800$  زلزله ایران، ویرایش سوم و با فرض نوع زمین تیپ  $3$ ، شتاب مبنای طرح  $0.35$ ، صورت پذیرفته است [6]. در مدل سازی ها

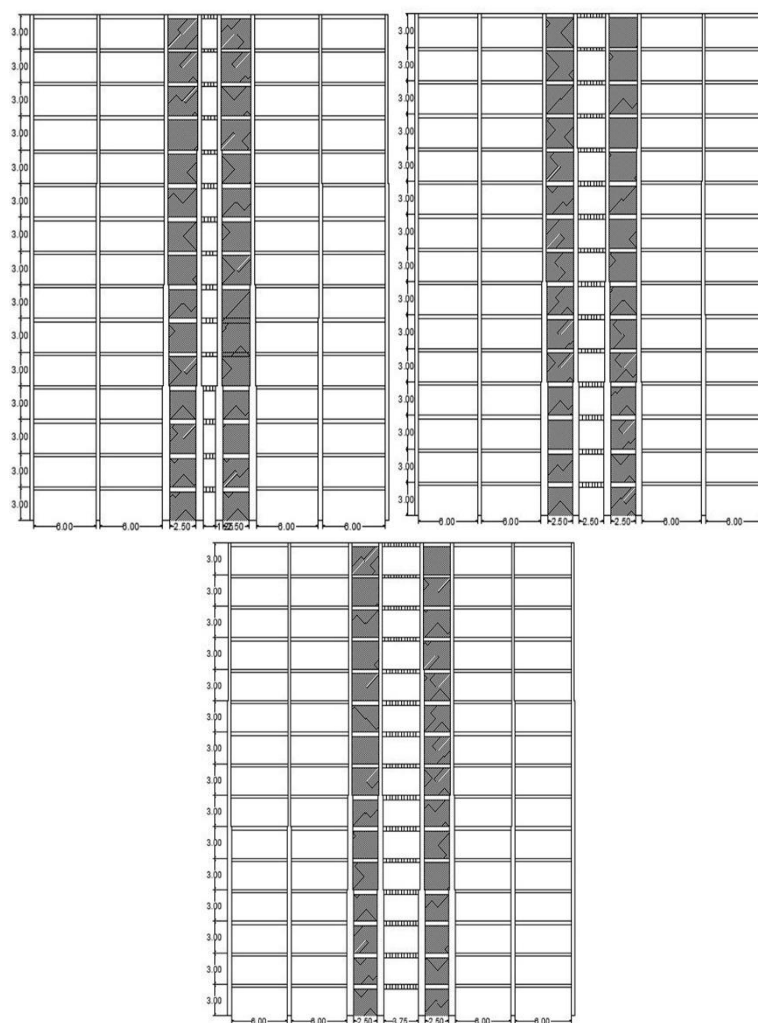
روش طراحی مدل های دیوار برشی فولادی در این مقاله، شبیه روشی است که در آیین نامه فولاد کانادا [7] (CAN/CSA S16-01) و آیین نامه فولاد امریکا (AISC 2005) [8]، به آن اشاره شده است. در این آیین نامه ها به منظور طراحی دیوارهای برشی فولادی با ورق نازک، ابتدا طراحی اولیه مقاطع تیر، ستون و ورق دیوارها مشابه یک خرابای قائم با مهارندهای صرفا کششی انجام می شود. در واقع به جای هر ورق فولادی، یک مهاربند معادل در نظر گرفته می شود. پس از تعیین سطح مقطع هر مهاربند (براساس روابط انرژی کرنشی الاستیک)، ضخامت ورق فولادی به دست می آید. همچنین طرح تیر پیوند و طول آن به گونه ای صورت پذیرفته که هر دو حالت رفتار خمشی و برشی در مدل ها در نظر گرفته شود. لازم به ذکر است که مقاطع ستون ها از قوطی، مقاطع تیرها از تیر ورق و مقاطع مهارندهای معادل از ناودانی دویل انتخاب شده است. جداول (۱) تا (۳) خلاصه مقاطع طراحی را برای مدل های  $3$ ،  $10$  و  $15$  طبقه نشان می دهد.



شکل ۱ مدل ۳ طبقه با طول تیر پیوند  $1/25$ ،  $2/5$  و  $3/75$  متر



شکل ۲ مدل ۱۰ طبقه با طول تیر پیوند ۱/۲۵، ۲/۵ و ۳/۷۵ متر



شکل ۳ مدل ۱۵ طبقه با طول تیر پیوند ۱/۲۵، ۲/۵ و ۳/۷۵ متر

جدول ۱ مقاطع تیر پانل و اطراف، ستون پانل و اطراف، تیر پیوند و ضخامت ورق دیوار برشی فولادی کوپله مدل ۳ طبقه

طبقه	مقاطع ستون‌ها	t(mm) (ضخامت ورق)	مقاطع تیرهای پانل	مقاطع ستون‌های اطراف	مقاطع تیرهای اطراف	مقاطع تیر پیوند
۱	Box۳۰x۲	۱/۷۱	PI۳۰x۰/۸-۱۵x۰/۸	Box۳۰x۱/۵	PI۳۰x۰/۸-۱۵x۰/۸	PI۳۰x۰/۸-۱۵x۰/۸
۲	Box۳۰x۲	۱/۷۱	PI۳۰x۰/۸-۱۵x۰/۸	Box۳۰x۱/۵	PI۳۰x۰/۸-۱۵x۰/۸	PI۳۰x۰/۸-۱۵x۰/۸
۳	Box۳۰x۱/۵	۱/۱۱	PI۳۰x۰/۸-۱۵x۰/۸	Box۳۰x۱/۵	PI۳۰x۰/۸-۱۵x۰/۸	PI۳۰x۰/۸-۱۵x۰/۸

جدول ۲ مقاطع تیر پانل و اطراف، ستون پانل و اطراف، تیر پیوند و ضخامت ورق دیوار برشی فولادی کوپله مدل ۱۰ طبقه

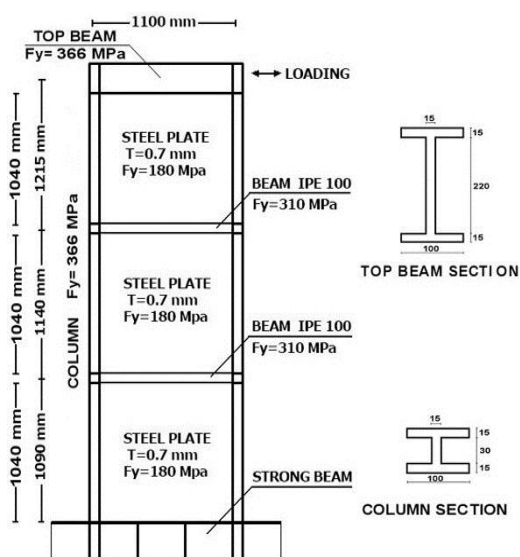
طبقه	مقاطع ستون‌ها	t(mm) (ضخامت ورق)	مقاطع تیرهای پانل	مقاطع ستون‌های اطراف	مقاطع تیرهای اطراف	مقاطع تیر پیوند
۱	Box۵۰x۳	۵/۳۸	PI۴۲/۸x۲/۳-۲۸/۹x۴	Box۴۰x۲	PI۳۰x۱/۵-۱۵x۱/۵	PI۴۲/۸x۲/۳-۲۸/۹x۴
۲	Box ۵۰x۳	۵/۳۸	PI۴۲/۸x۲/۳-۲۸/۹x۴	Box۴۰x۲	PI۳۰x۱/۵-۱۵x۱/۵	PI۴۲/۸x۲/۳-۲۸/۹x۴
۳	Box۴۰x۳	۴/۸۶	PI۴۲/۸x۲/۳-۲۸/۹x۴	Box۴۰x۲	PI۳۰x۱/۵-۱۵x۱/۵	PI۴۲/۸x۲/۳-۲۸/۹x۴
۴	Box۴۰x۳	۴/۸۶	PI۴۲/۸x۲/۳-۲۸/۹x۴	Box۴۰x۲	PI۳۰x۱/۵-۱۵x۱/۵	PI۴۲/۸x۲/۳-۲۸/۹x۴
۵	Box۴۰x۲	۳/۷۷	PI۴۲/۷x۱/۲-۲۸/۲x۲	Box۴۰x۲	PI۳۰x۱/۵-۱۵x۱/۵	PI۴۲/۷x۱/۲-۲۸/۲x۲
۶	Box۴۰x۲	۳/۲۴	PI۴۲/۷x۱/۲-۲۸/۲x۲	Box۳۵x۱/۵	PI۳۰x۱/۵-۱۵x۱/۵	PI۴۲/۷x۱/۲-۲۸/۲x۲
۷	Box۴۰x۲	۳/۲۴	PI۴۲/۷x۱/۲-۲۸/۲x۲	Box۳۵x۱/۵	PI۳۰x۱/۵-۱۵x۱/۵	PI۴۲/۷x۱/۲-۲۸/۲x۲
۸	Box۳۵x۲	۲/۴۲	PI۳۴x۲-۱۵x۲	Box۳۵x۱/۵	PI۳۰x۱/۵-۱۵x۱/۵	PI۳۴x۲-۱۵x۲
۹	Box۳۵x۲	۱/۷۱	PI۳۴x۲-۱۵x۲	Box۳۵x۱/۵	PI۳۰x۱/۵-۱۵x۱/۵	PI۳۴x۲-۱۵x۲
۱۰	Box۳۵x۲	۱/۱۱	PI۳۴x۲-۱۵x۲	Box۳۵x۱/۵	PI۳۰x۱/۵-۱۵x۱/۵	PI۳۴x۲-۱۵x۲

جدول ۳ مقاطع تیر پانل و اطراف، ستون پانل و اطراف، تیر پیوند و ضخامت ورق دیوار برشی فولادی کوپله مدل ۱۵ طبقه

طبقه	مقاطع ستون‌ها	t(mm) (ضخامت ورق)	مقاطع تیرهای پانل	مقاطع ستون‌های اطراف	مقاطع تیرهای اطراف	مقاطع تیر پیوند
۱	Box۷۰x۳	۵/۳۸	PI۴۲/۸x۲/۳-۲۸/۹x۴	Box۴۰x۲	PI۳۰x۱/۵-۱۵x۱/۵	PI۴۲/۸x۲/۳-۲۸/۹x۴
۲	Box۷۰x۳	۵/۳۸	PI۴۲/۸x۲/۳-۲۸/۹x۴	Box۴۰x۲	PI۳۰x۱/۵-۱۵x۱/۵	PI۴۲/۸x۲/۳-۲۸/۹x۴
۳	Box۷۰x۳	۴/۸۶	PI۴۲/۸x۲/۳-۲۸/۹x۴	Box۴۰x۲	PI۳۰x۱/۵-۱۵x۱/۵	PI۴۲/۸x۲/۳-۲۸/۹x۴
۴	Box۷۰x۳	۴/۸۶	PI۴۲/۸x۲/۳-۲۸/۹x۴	Box۴۰x۲	PI۳۰x۱/۵-۱۵x۱/۵	PI۴۲/۸x۲/۳-۲۸/۹x۴
۵	Box۵۰x۲	۴/۲۶	PI۴۲/۸x۲/۳-۲۸/۹x۴	Box۴۰x۲	PI۳۰x۱/۵-۱۵x۱/۵	PI۴۲/۸x۲/۳-۲۸/۹x۴
۶	Box۵۰x۲	۴/۲۶	PI۴۲/۸x۲/۳-۲۸/۹x۴	Box۳۵x۱/۵	PI۳۰x۱/۵-۱۵x۱/۵	PI۴۲/۸x۲/۳-۲۸/۹x۴
۷	Box۵۰x۲	۳/۷۷	PI۴۲/۸x۲/۳-۲۸/۹x۴	Box۳۵x۱/۵	PI۳۰x۱/۵-۱۵x۱/۵	PI۴۲/۸x۲/۳-۲۸/۹x۴
۸	Box۴۰x۲	۳/۲۴	PI۴۲/۷x۱/۲-۲۸/۲x۲	Box۳۵x۱/۵	PI۳۰x۱/۵-۱۵x۱/۵	PI۴۲/۷x۱/۲-۲۸/۲x۲
۹	Box۴۰x۲	۲/۰۵	PI۴۲/۷x۱/۲-۲۸/۲x۲	Box۳۵x۱/۵	PI۳۰x۱/۵-۱۵x۱/۵	PI۴۲/۷x۱/۲-۲۸/۲x۲
۱۰	Box۴۰x۲	۱/۷۱	PI۴۲/۷x۱/۲-۲۸/۲x۲	Box۳۵x۱/۵	PI۳۰x۱/۵-۱۵x۱/۵	PI۴۲/۷x۱/۲-۲۸/۲x۲
۱۱	Box۴۰x۲	۱/۷۱	PI۴۲/۷x۱/۲-۲۸/۲x۲	Box۳۰x۱/۵	PI۳۰x۱/۵-۱۵x۱/۵	PI۴۲/۷x۱/۲-۲۸/۲x۲
۱۲	Box۳۵x۲	۱/۳۶	PI۳۴x۲-۱۵x۲	Box۳۰x۱/۵	PI۳۰x۱/۵-۱۵x۱/۵	PI۳۴x۲-۱۵x۲
۱۳	Box۳۵x۲	۱/۳۶	PI۳۴x۲-۱۵x۲	Box۳۰x۱/۵	PI۳۰x۱/۵-۱۵x۱/۵	PI۳۴x۲-۱۵x۲
۱۴	Box۳۵x۲	۱/۱۱	PI۳۴x۲-۱۵x۲	Box۳۰x۱/۵	PI۳۰x۱/۵-۱۵x۱/۵	PI۳۴x۲-۱۵x۲
۱۵	Box۳۵x۲	۱/۱۱	PI۳۴x۲-۱۵x۲	Box۳۰x۱/۵	PI۳۰x۱/۵-۱۵x۱/۵	PI۳۴x۲-۱۵x۲

### صحت‌سنجی و کالیبره کردن مدل

به منظور کالیبره کردن مدل‌های اجزای محدود دیوار برشی فولادی ۳ طبقه دارای ورق نازک که در سال ۲۰۰۷ توسط قلهکی [۹] مورد آزمایش قرار گرفته بود، استفاده شد (شکل ۴). دیوار مذکور دارای اتصال صلب در ورق پانل‌ها و ستون‌ها می‌باشد و به ترتیب از فولاد نرم و پر-مقاومت در ورق‌ها و ستون‌های آن استفاده شده است. نمای کلی و ابعاد تیر و ستون دیوار برشی فولادی در شکل (۴) و خصوصیات مکانیکی اجزای مورد استفاده در جدول (۴) نشان داده شده است.



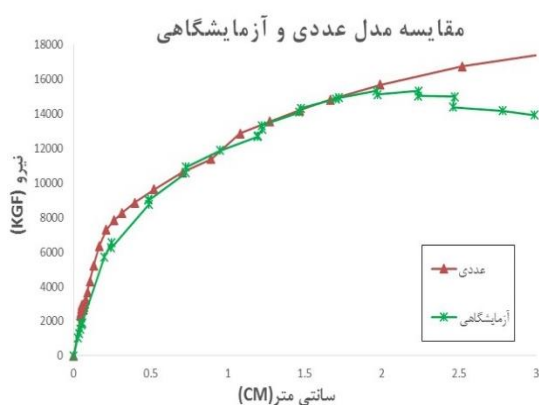
شکل ۴ نمای کلی و جزئیات نمونه آزمایشگاهی دیوار برشی فولادی [۹]

جدول ۴ خصوصیات مکانیکی اجزای نمونه‌های دیوار برشی فولادی [۹]

اعضا	$\sigma_0$ (N/mm <sup>2</sup> )	E (kN/mm <sup>2</sup> )
ورق	۱۸۰	۲۰۶
ستون	۳۶۶	۲۰۶
تیرهای میانی	۳۱۰	۲۰۶
تیر فوقانی	۳۶۶	۲۰۶

$\sigma_0$  و E به ترتیب تنش تسلیم و مدول الاستیسیته مصالح می‌باشند

پس از انجام آنالیز حساسیت نسبت به ابعاد مش-بندی، از مش ۱۰ سانتی‌متر استفاده شد. همچنین از المان‌های Shell S4R در مدل‌سازی استفاده گردید. برای سادگی از مدل پلاستیسیته دو خطی با سخت‌شوندگی سینماتیکی و تابع فون میسر استفاده گردید. شیب قسمت سخت‌شوندگی در نمودار تنش-کرنش برابر ۳ درصد قسمت الاستیک در نظر گرفته شد و همچنین با استفاده از آنالیز حساسیت و به منظور شروع کمانش میدان کششی قطری ۳ میلی‌متر اعوجاج اولیه به وسط ورق اعمال گردید. شکل (۵) مقایسه نتایج رفتاری نمونه آزمایشگاهی و اجزای محدود را که در آن از مش ۱۰ سانتی‌متری استفاده شده است نشان می‌دهد.



شکل ۵ مقایسه نتایج عددی با نتایج آزمایشگاهی با استفاده از مش ۱۰ سانتی‌متر

### مدل‌سازی نمونه‌ها در نرم‌افزار اجزای محدود

هر سیستم، مطابق با اجزای تشکیل‌دهنده آن، می‌تواند انواع مختلفی از المان‌ها را دارا باشد. در مدل‌سازی‌ها اگرچه اعضای مرزی را می‌توان با المان خطی Beam مدل کرد، ولی با توجه به امکان وقوع کمانش موضعی در آنها، ورق و اعضای مرزی با المان Shell که یک المان چهارگره‌ای دوانحنایی با انتگرال‌گیری کاهش‌یافته است، مدل‌سازی شده‌اند. هر گره از این المان ۶ درجه آزادی، ۳ درجه انتقالی و ۳ درجه دورانی دارد. مدل رفتاری شامل

[6] و با فرض نوع خاک ۳ و بررسی شتاب‌نگاشت‌ها، درنهایت سه زلزله نورث‌ریچ، طبس (ایران) و لوما پریتا (کالیفرنیا آمریکا) انتخاب شده و همه نگاشت‌ها به 0.35g مقیاس شده‌اند و مشخصات این زلزله‌ها در جدول (۵) قابل مشاهده است.

برای مقیاس کردن شتاب‌نگاشت‌ها، مطابق با استاندارد ۲۸۰۰ زلزله ایران [6] عمل شده است. بدین صورت که پس از مقیاس کردن شتاب‌نگاشت‌ها به مقدار حداکثر خود، طیف پاسخ شتاب هر یک از زوج شتاب‌نگاشت‌های افقی مقیاس شده با منظور کردن نسبت میرایی ۵ درصد توسط نرم‌افزار سیموسیگنال به‌دست آمده و بعد از ترکیب طیف پاسخ هر زوج شتاب‌نگاشت با روش جذر مربعات، متوسط‌گیری شده و باید در محدوده زمان‌های تناوب 0.2T و 1.5T با طیف طرح استاندارد مقایسه شود. برای بررسی محدوده بازه دوره تناوب باید پرود اصلی سازه را به‌دست آورد، که با استفاده از آنالیز مودال پرود اصلی سازه به‌دست آمده و در جدول (۶) قابل مشاهده است.

از جدول (۶) می‌توان متوجه شد که با افزایش طول تیر پیوند در سیستم دیوار برشی کوپله فولادی، پرود سازه افزایش می‌یابد. از طرف دیگر برای مقیاس کردن، در هر سازه با طول تیر پیوندهای متفاوت، پرود بزرگ‌تر ملاک عمل قرار می‌گیرد تا درنهایت ضریب مقیاس و بارگذاری سازه‌ها یکسان شوند.

رفتار غیرخطی هندسی و مصالح، مبتنی بر منحنی دوطبقی الاستوپلاستیک است که در آن فولاد مصرفی ST37 و میزان سخت‌شوندگی ۳ درصد می‌باشد و اندازه مش ۱۰ سانتی‌متر است.

### مطالعه پاسخ دینامیکی غیرخطی (تاریخچه زمانی)

در تحلیل غیرخطی تاریخچه زمانی، رفتار سازه به‌صورت جزئی در طول زمان زلزله مشاهده می‌گردد و این رفتار بیانگر رفتار واقعی‌تر سازه در طول زلزله نسبت به تحلیل‌های دیگر می‌باشد. در این نوع تحلیل، اثر محتوای فرکانسی، شتاب حداکثر و زمان تأثیر زلزله (مدت زمان مؤثر زلزله) به‌خوبی مشاهده شده و مشخص می‌شود که چگونه دو زلزله با شتاب حداکثر یکسان اثر تخریبی متفاوتی را بر سازه دارند.

**شتاب‌نگاشت‌های مورد استفاده.** مطابق استاندارد ۲۸۰۰ ایران [6]، شتاب‌نگاشت‌هایی که در تعیین اثر حرکت زمین مورد استفاده قرار می‌گیرند باید تا حد امکان نمایانگر حرکت واقعی زمین در محل احداث بنا در هنگام وقوع زلزله باشند. مدت زمان حرکت شدید زمین در شتاب‌نگاشت‌ها نیز حداقل برابر ۱۰ ثانیه یا سه برابر زمان تناوب اصلی سازه، هر کدام بیشتر است، انتخاب می‌شود. در این مقاله باتوجه به آیین‌نامه ۲۸۰۰ زلزله ایران

جدول ۵ مشخصات زلزله‌های انتخاب‌شده

ردیف	نام زلزله	سال	ایستگاه	خاک	فاصله	PGA (m/s <sup>2</sup> )	$\Delta t$	مدت زمان مؤثر	بازه زمانی انتخاب‌شده
۱	Northridge	۱۹۹۴	13122 CDMG	۳	۸۲/۳	۰/۱۰۴	۰/۰۲	۱۰	۲۱-۱۱
۲	LomaPrieta	۱۹۸۹	58223 CDMG	۳	۷۲/۲	۰/۳۲۹	۰/۰۰۵	۱۱	۲۰-۹
۳	Tabas	۱۹۷۸	71 FERDOWS	۳	۹۱/۱	۰/۱۰۷	۰/۰۲	۲۶	۳۶-۱۰

جدول ۶. پریود اصلی هر سازه براساس آنالیز مودال مدل‌های ۳، ۱۰ و ۱۵ طبقه

ردیف	مدل-طول تیر پیوند	دوره تناوب	0.2T	1.5T
۱	۳ طبقه-۱/۲۵	۰/۳۰۳۵	۰/۰۶۰۷	۰/۴۵۵
۲	۳ طبقه-۲/۵	۰/۳۱۲۷	۰/۰۶۳	۰/۴۶۹
۳	۳ طبقه-۳/۷۵	۰/۳۲۶۱	۰/۰۶۵	۰/۴۸۹
۴	۱۰ طبقه-۱/۲۵	۰/۷۲۲	۰/۱۴۴	۱/۰۸۳
۵	۱۰ طبقه-۲/۵	۰/۷۵۹	۰/۱۵۲	۱/۱۳۸
۶	۱۰ طبقه-۳/۷۵	۰/۸۳۷۸	۰/۱۶۸	۱/۲۵۷
۷	۱۵ طبقه-۱/۲۵	۱/۱۶۷	۰/۲۳۳	۱/۷۵۱
۸	۱۵ طبقه-۲/۵	۱/۲۷	۰/۲۵۴	۱/۹۰۵
۹	۱۵ طبقه-۳/۷۵	۱/۳۸	۰/۲۷۶	۲/۰۷

### بررسی تحلیل دینامیکی غیرخطی

بعد از ساخت مدل‌ها در نرم‌افزار ABAQUS، مدل‌ها تحت نگاشت‌ها، مورد تحلیل دینامیکی غیرخطی قرار گرفتند و برش‌ها و نسبت جابه‌جایی‌ها و DC مدل‌ها به دست آمد. بر این اساس ابتدا برش پایه محاسبه و سپس نتایج دریف‌ت طبقات و در انتها DC مورد مطالعه قرار گرفت.

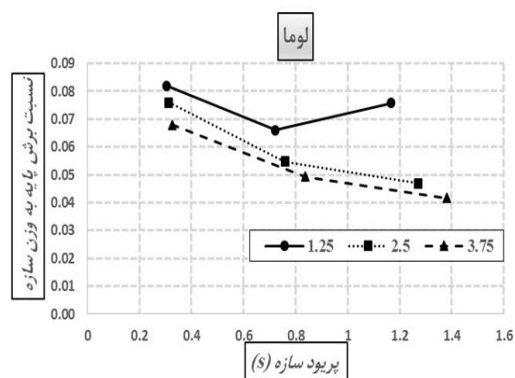
**برش پایه.** شکل (۶) نمودار حداکثر برش طبقات در ارتفاع مدل‌های ۳، ۱۰ و ۱۵ طبقه را به تفکیک نگاشت‌ها نشان می‌دهد. همان‌طور که مشاهده می‌شود، در مدل ۳ طبقه حداکثر برش پایه حاصل از زلزله نورتریچ در طول تیر پیوند ۱/۲۵ متر به ترتیب ۱۳٪ و ۲۰٪ بیشتر از طول تیر پیوند ۲/۵ و ۳/۷۵ متر است و حداکثر برش پایه حاصل از زلزله لوما پریتا در طول تیر پیوند ۱/۲۵ متر به ترتیب ۴٪ و ۱۳٪ بیشتر از طول تیر پیوند ۲/۵ و ۳/۷۵ متر و حداکثر برش پایه حاصل از زلزله طبس در طول تیر پیوند ۱/۲۵ متر به ترتیب ۳٪ و ۴٪ بیشتر از طول تیر پیوند ۲/۵ و ۳/۷۵ متر است. در مدل ۱۰ طبقه، حداکثر برش پایه حاصل از زلزله نورتریچ در طول تیر پیوند ۱/۲۵ متر به ترتیب ۱۰٪ و ۳۳٪ بیشتر از طول تیر پیوند ۲/۵ و ۳/۷۵ متر است و حداکثر برش پایه حاصل از زلزله لوما پریتا در طول تیر پیوند ۱/۲۵ متر به ترتیب ۱۳٪ و ۱۹٪

بیشتر از طول تیر پیوند ۲/۵ و ۳/۷۵ متر است و حداکثر برش پایه حاصل از زلزله طبس در طول تیر پیوند ۱/۲۵ متر با طول تیر پیوند ۲/۵ متر تقریباً برابر است. در مدل ۱۵ طبقه حداکثر برش پایه حاصل از زلزله نورتریچ در طول تیر پیوند ۲/۵ متر به ترتیب ۳٪ و ۶٪ بیشتر از طول تیر پیوند ۱/۲۵ و ۳/۷۵ متر است و حداکثر برش پایه حاصل از زلزله لوما پریتا در طول تیر پیوند ۱/۲۵ متر به ترتیب ۵۰٪ و ۵۷٪ بیشتر از طول تیر پیوند ۲/۵ و ۳/۷۵ متر است و حداکثر برش پایه حاصل از زلزله طبس در طول تیر پیوند ۱/۲۵ متر به ترتیب ۱۲٪ و ۴۵٪ بیشتر از طول تیر پیوند ۲/۵ و ۳/۷۵ متر است.

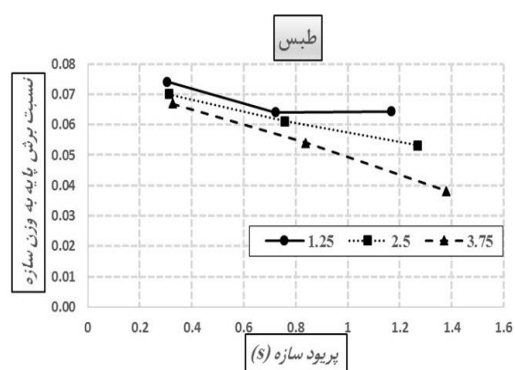
نتایج فوق نشان می‌دهد که با افزایش طول تیر پیوند و فارغ از نوع شتاب‌نگاشت، در تمامی مدل‌ها برش پایه کاهش می‌یابد.

همان‌گونه که در شکل (۷) مشاهده می‌شود در زلزله نورتریچ، لوما پریتا و طبس در محدوده ۰/۳۰۳۵ تا ۱/۳۸ ثانیه نسبت برش به وزن سازه یا ضریب برش پایه (C) در طول تیر پیوند ۱/۲۵ متر نسبت به ۲/۵ و ۳/۷۵ متر بیشتر است. به عبارت دیگر، در تمامی مدل‌ها و فارغ از نوع شتاب‌نگاشت، افزایش پریود سازه (به دلیل افزایش طول تیر پیوند) ضریب C کاهش می‌یابد.





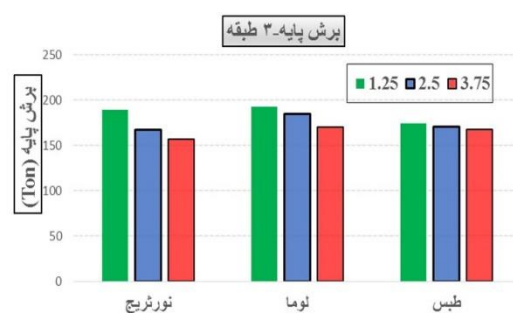
(ب)



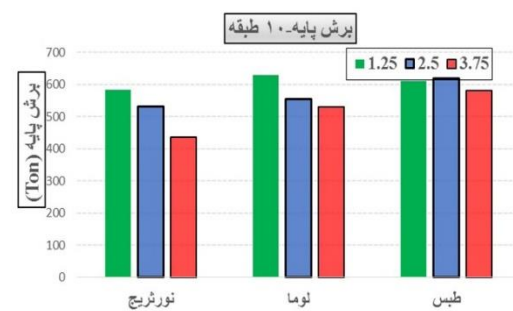
(ج)

شکل ۷ نمودار نسبت برش پایه به وزن کل سازه در برابر پریود طبیعی سازه به تفکیک زلزله‌ها در مدل‌های ۳، ۱۰ و ۱۵ طبقه، (الف) زلزله نورث‌ریج، (ب) زلزله لوما پرتا، (ج) زلزله طیس

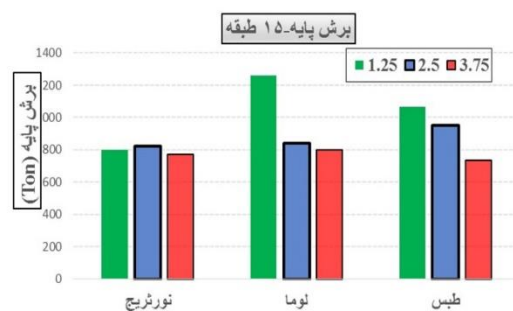
**دریافت.** شکل (۸) نمودار حداکثر دریافت طبقات در هر پریود سازه به تفکیک برای هر نگاشت زلزله را نشان می‌دهد. دریافت به عنوان فاکتوری مهم و قابل ارزیابی در طراحی سازه کاربرد فراوان دارد. باتوجه به شکل (۸) می‌توان مقادیر بیشترین دریافت طبقه در قاب‌های مختلف حاصل از نگاشت‌ها را در بازه پریودی ۰/۳۰۳۵ تا ۱/۳۸ ثانیه که پریود طبیعی قاب‌های دیوار برشی فولادی کوپله می‌باشد مورد بررسی قرار داد و همان‌طور که مشاهده می‌شود با افزایش پریود سازه (یا به عبارت دیگر با افزایش طول تیر پیوند) و افزایش تعداد طبقات، در دیوارهای برشی فولادی کوپله، دریافت افزایش می‌یابد.



(الف)

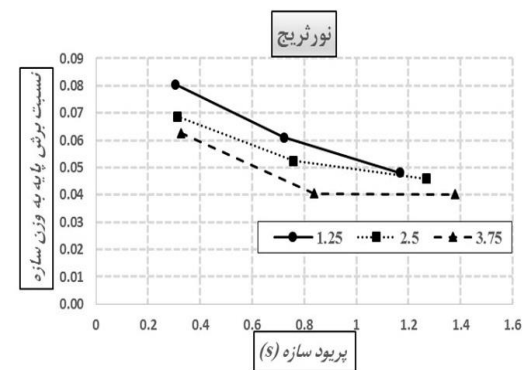


(ب)

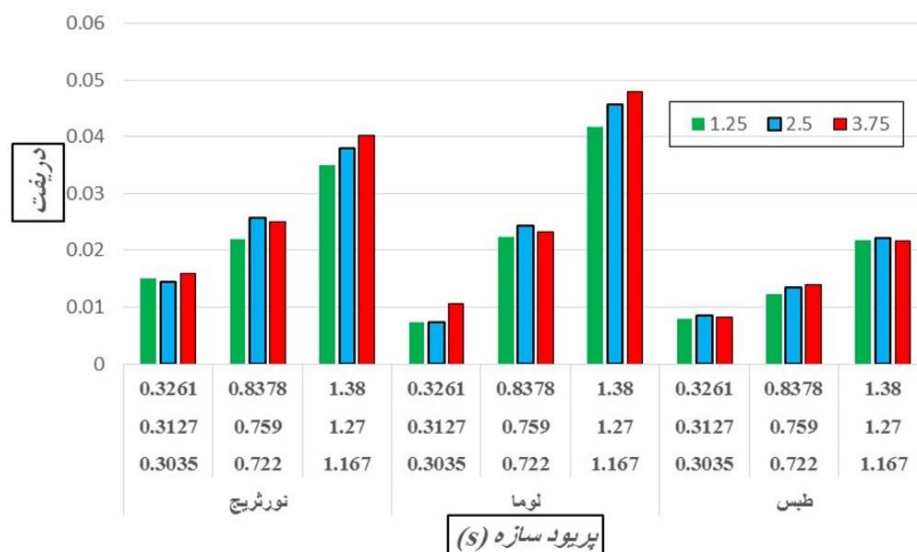


(ج)

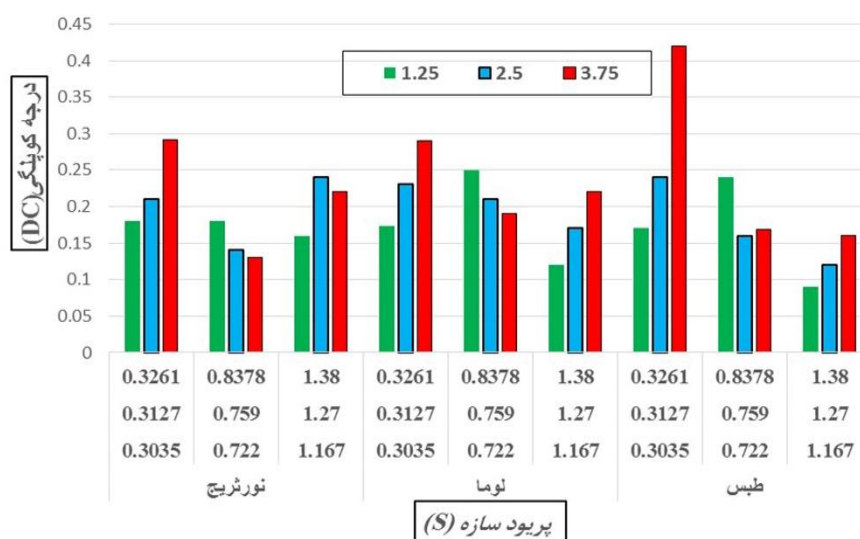
شکل ۶ نمودار حداکثر برش پایه به تفکیک شتاب‌نگاشت‌ها، (الف) مدل ۳ طبقه، (ب) مدل ۱۰ طبقه، (ج) مدل ۱۵ طبقه



(الف)



شکل ۸ نمودار حداکثر دررفت طبقات در هر پرپود سازه به تفکیک نگاشت‌ها



شکل ۹ نمودار درجه کویپلگی پایه در هر پرپود سازه به تفکیک نگاشت‌ها

$M_{VBE}$  لنگر پای هر ستون (نیوتن متر)،  
 $M_{PIER}$  لنگر کویپله در هر پانل دیوار برشی فولادی  
 (نیوتن متر) می‌باشند.

شکل (۹) نمودار حداکثر درجه کویپلگی پایه  
 برحسب پرپود سازه به تفکیک برای نگاشت‌ها و مقادیر  
 درجه کویپلگی (DC) پایه در قاب‌های مختلف حاصل از  
 نگاشت‌ها را مطابق با بازه پرپودی ۰/۳۰۳۵ تا ۱/۳۸ ثانیه  
 (که پرپود طبیعی قاب‌های دیوار برشی فولادی کویپله

درجه کویپلگی (DC). با استفاده از پژوهش فاهنستوک و  
 بورلو [4] مقدار درجه کویپلگی طبق رابطه (۱) بیان می-  
 شود.

$$DC = \frac{M_{COUP}}{M_{TOTAL}} = \frac{M_{COUP}}{\sum M_{VBE} + \sum M_{PIER} + M_{COUP}} \quad (1)$$

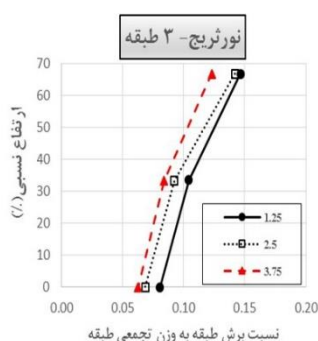
که در آن:

$M_{COUP}$  لنگر کویپله ناشی از تیر پیوند (نیوتن متر)،

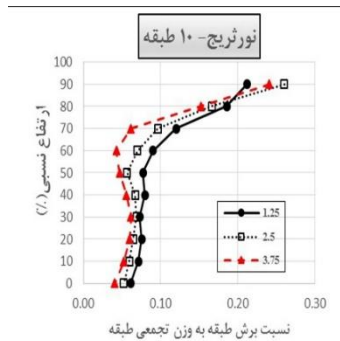
پریود ۰/۷۲۲، ۰/۷۵۹ و ۰/۸۳۷۸ که نشان‌دهنده قاب ۱۰ طبقه، به ترتیب با طول تیر پیوند ۱/۲۵، ۲/۵ و ۳/۷۵ متر می‌باشد، با افزایش طول تیر پیوند درجه کپی‌لگی کاهش یافته است. براین اساس افزایش طول تیر پیوند در دیوار برشی فولادی کوپله، اثرات مثبت و منفی متفاوت بر درجه کپی‌لگی دارد.

می‌باشد) نشان می‌دهد. همان‌طور که مشاهده می‌شود در پریود ۰/۳۱۲۷، ۰/۳۲۶۱ و ۰/۳۳۵۵ که نشان‌دهنده قاب ۳ طبقه، به ترتیب با طول تیر پیوند ۱/۲۵، ۲/۵ و ۳/۷۵ متر و همچنین در پریود ۱/۱۶۷، ۱/۲۷ و ۱/۳۸ که نشان‌دهنده قاب ۱۵ طبقه، به ترتیب با طول تیر پیوند ۱/۲۵، ۲/۵ و ۳/۷۵ متر است، در تمام نگاشت‌های موجود با افزایش طول تیر پیوند درجه کپی‌لگی افزایش یافته درحالی‌که در

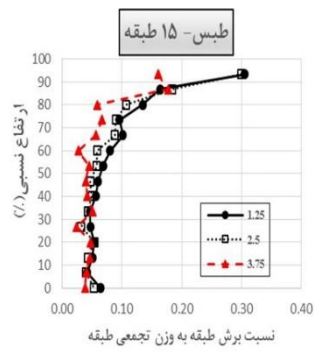
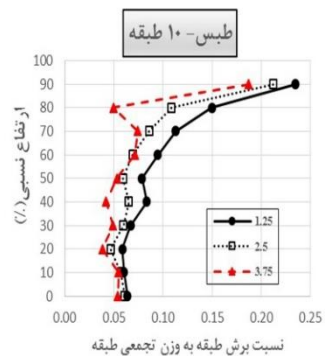
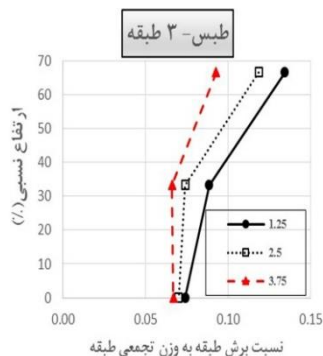
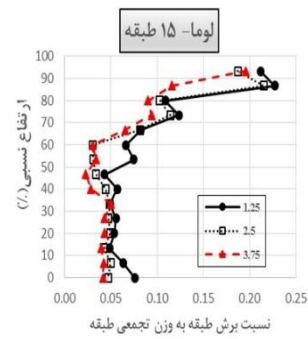
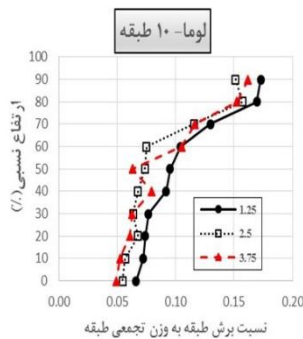
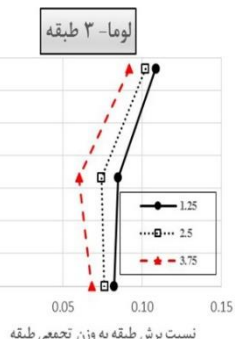
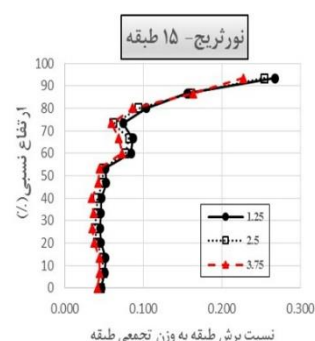
دیوار برشی فولادی کوپله - ۳ طبقه



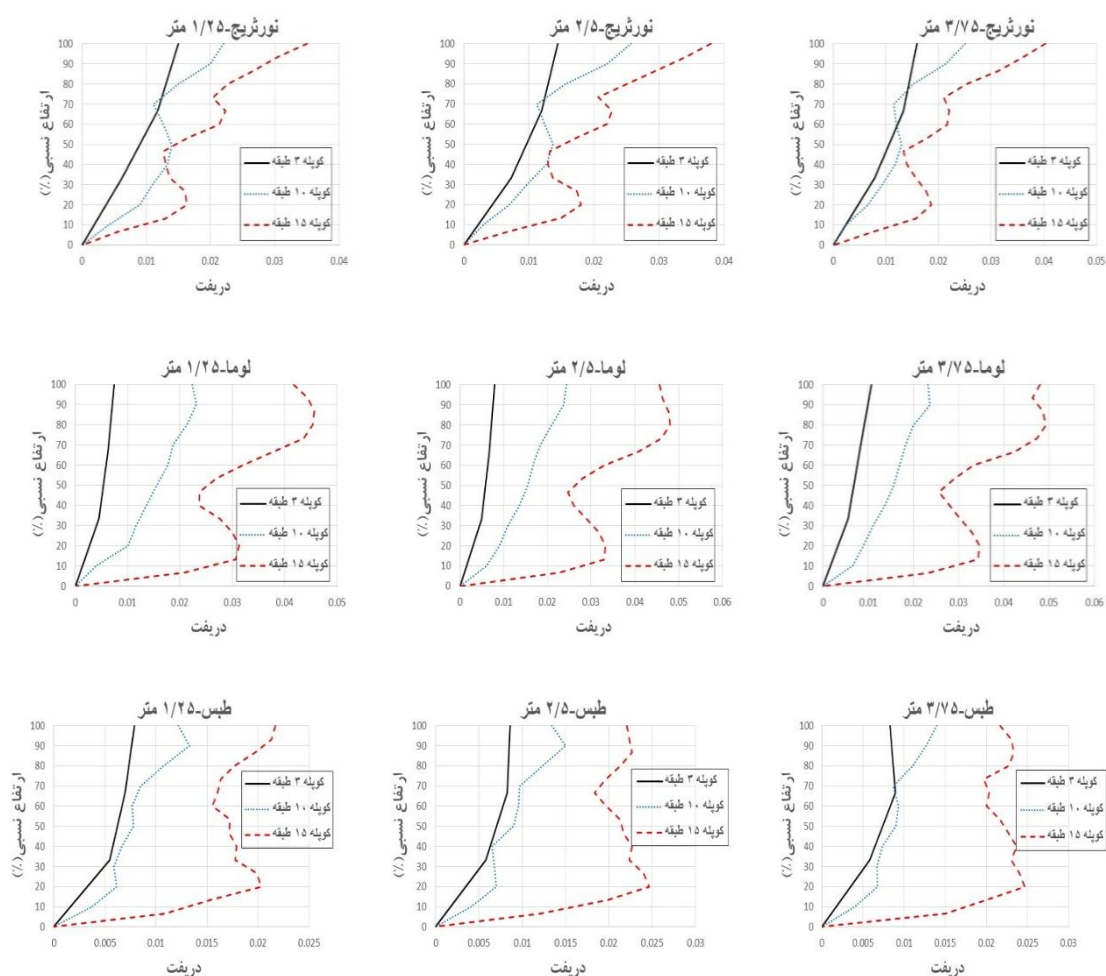
دیوار برشی فولادی کوپله - ۱۰ طبقه



دیوار برشی فولادی کوپله - ۱۵ طبقه



شکل ۱۰ نمودار نسبت بیشینه برش طبقه به وزن تجمعی سازه برای مدل‌های ۳، ۱۰ و ۱۵ طبقه به تفکیک نگاشت‌ها



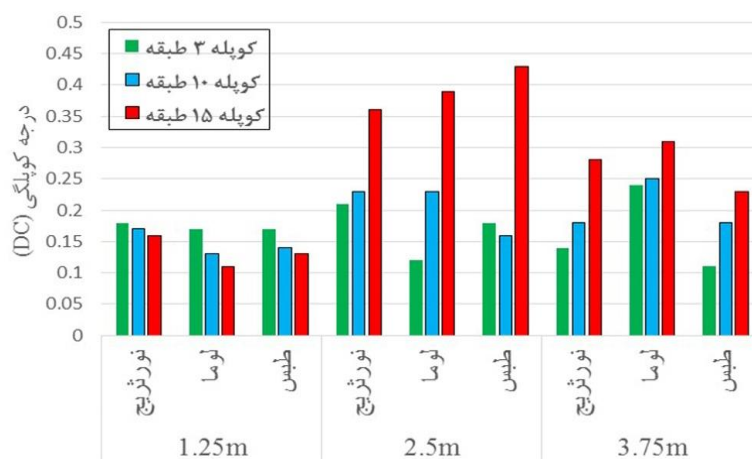
شکل ۱۱ نمودار توزیع ارتفاعی دریفت در مدل‌های ۳، ۱۰ و ۱۵ طبقه به تفکیک نگاشت‌ها

ثابت این نمودارها بیان‌کننده توزیع ثابت برش طبقات به نسبت وزن مؤثر طبقات در دیوار برشی‌های فولادی کوپله با این ارتفاع می‌باشد.

### توزیع ارتفاعی پارامترهای پاسخ سازه

به منظور بررسی اثر ارتفاع بر پارامترهای پاسخ سازه از ارتفاع نسبی استفاده شده است تا بتوان پارامترهای پاسخ سازه‌ای هر سه سازه با طول تیر پیوندهای مختلف را با یکدیگر مقایسه کرد. شکل‌های (۱۰) و (۱۱) به ترتیب توزیع ارتفاعی حداکثر برش و دریفت مدل‌ها و شکل (۱۲) توزیع ارتفاعی DC پایه را نشان می‌دهد.

شکل (۱۰) نمودار نسبت بیشینه برش طبقه به وزن تجمعی سازه ناشی از تحلیل دینامیکی غیرخطی برای سه شتاب‌نگاشت همپایه‌شده در برابر درصد ارتفاع سازه در مدل‌های ۳، ۱۰ و ۱۵ طبقه را نشان می‌دهد. همان‌گونه که در نمودارهای شکل (۱۰) مشاهده می‌شود، توزیع برش طبقات به نسبت وزن مؤثر سازه همچنان، در طبقات بالاتر با افزایش همراه خواهد بود. مطابق با شکل (۱۰) در مدل ۳، ۱۰ و ۱۵ طبقه نسبت بیشینه برش طبقه به وزن تجمعی سازه در تمامی نگاشت‌ها با طول تیر پیوند ۱/۲۵ متر از ۲/۵ متر و ۳/۷۵ متر بیشتر است و همچنین در طول تیر پیوند ۱/۲۵ متر نسبت به ۲/۵ و ۳/۷۵ متر با شیبی نسبتاً موازی نسبت به هم افزایش خواهد داشت که شیب



شکل ۱۲ نمودار توزیع ارتفاعی درجه کوپلگی پایه در طول دهانه ۱/۲۵، ۲/۵ و ۳/۷۵ متر به تفکیک نگاشت‌ها

### نتیجه‌گیری

در این تحقیق رفتار سیستم دیوار برشی فولادی کوپله با اتصالات تیر به ستون صلب با استفاده از تحلیل دینامیکی غیرخطی بررسی شده است. بدین منظور سه قاب خمشی با تعداد طبقات ۳، ۱۰ و ۱۵ با سه طول تیر پیوند در مدل‌ها ۱/۲۵، ۲/۵ و ۳/۷۵ متر مورد بررسی قرار گرفت. نمونه‌ها تحت سه زلزله نورتریج، لوما پریتا و طبس آنالیز شدند و برش پایه، دررفت، پیوند سازه و درجه کوپلگی تحت زلزله‌ها مورد ارزیابی قرار گرفت. نتایج نشان داد که:

۱. افزایش طول تیر پیوند در دیوار برشی فولادی کوپله، باعث افزایش پیوند سازه و کاهش برش پایه می‌شود و در عوض باعث افزایش دررفت سازه می‌گردد.
۲. افزایش طول تیر پیوند اثرات افزایشی و کاهشی بر

درجه کوپلگی خواهد داشت.

۳. با افزایش طول تیر پیوند، در یک‌سوم میانی ارتفاع سازه‌ها از سازه میان‌مرتبه به بلندمرتبه، برش کاهش می‌یابد و با افزایش ارتفاع در سازه‌ها برش زیاد می‌شود.
۴. در زلزله نورتریج در ۶۵٪ تا ۸۰٪ ارتفاع سازه با تغییر ارتفاع سازه از کوتاه به میان‌مرتبه دررفت کم و در ۴۰٪ تا ۵۰٪ ارتفاع سازه با تغییر سازه از میان به بلندمرتبه، دررفت افزایش می‌یابد. همچنین با افزایش ارتفاع سازه‌ها دررفت افزایش می‌یابد.
۴. با افزایش تعداد طبقات در سازه، در طول تیر پیوند ۱/۲۵ متر، ۲/۵ متر و ۳/۷۵ متر درجه کوپلگی به ترتیب کاهش، افزایش و افزایش می‌یابد.

### مراجع

1. Zhao, Q., Astaneh-Asl, A., "Cyclic Behavior of an Innovative Steel Shear Wall System", *13<sup>th</sup> World Conference on Earthquake Engineering*, August 1-6 (2004).
2. Li, C.H., Tsai, K.C., Chang, J.T., Lin., "Cyclic Test of a Coupled Steel Plate Shear Wall Substructure", *Procedia Engineering* 14, PP. 582-589, (2011).
3. Borello, Dj., Fahnestock, La., "Design and Testing of Coupled Steel Plate Shear Walls", *Structures Congress*, (2011).
4. Borello, Dj., Fahnestock, La., "Behavior and Mechanisms of Steel Plate Shear Walls with Coupling", *Journal of Constructional Steel Research* 74, PP. 8-16, (2012).

۵. مبحث ششم مقررات ملی ساختمان ایران، بارهای وارد بر ساختمان، (۱۳۸۸).
۶. آئین‌نامه طراحی ساختمان‌ها در برابر زلزله، استاندارد ۲۸۰۰، ویرایش ۳، مرکز تحقیقات ساختمان و مسکن.
7. Canadian Standards Association (CSA), "Limit States Design of Steel Structures", CAN/CSA S16-01. Willowdale, (Ontario, Canada): CSA, (2001).
8. Seismic Provisions for Structural Steel Building, American Institute of Steel Construction (AISC), Chicago, IL, (2005).
۹. قلهکی، مجید، «بررسی رفتار دیوارهای برشی فولادی شکل‌پذیر و اثر نوع اتصال تیر به ستون بر آنها»، رساله دکتری سازه، دانشکده مهندسی عمران دانشگاه صنعتی خواجه نصیرالدین طوسی، (۱۳۸۶).